

# ژئوشیمی رخسارهای کانه‌دار و پهنه‌بندی دگرسانی در کانسار سولفید توده‌ای آتشفسانزاد باریت-سرپ-مس ورندان، جنوب‌غرب قمصر

فایق هاشمی<sup>۱</sup>، فردین موسیوند<sup>(۲)</sup> و مهدی رضایی کهخائی<sup>۳</sup>

۱. دانش‌آموخته کارشناسی ارشد زمین‌شناسی اقتصادی دانشگاه صنعتی شاهروド
۲. دکتری زمین‌شناسی اقتصادی، عضو هیئت علمی دانشگاه صنعتی شاهرود
۳. دکتری پترولوزی، عضو هیئت علمی دانشگاه صنعتی شاهرود

تاریخ دریافت: ۹۶/۰۸/۰۶

تاریخ پذیرش: ۹۶/۱۱/۰۷

## چکیده

کانسار سولفید توده‌ای آتشفسانزاد باریت-سرپ-مس ورندان در جنوب‌غرب قمصر و در کمان ماقمایی ارومیه-دختر واقع شده است. کانه‌زائی در کانسار ورندان به صورت چهار زیرافق کانه‌دار و در واحد ۱ (عمدتاً شامل توفهای اسیدی و آندزیت) توالی آتشفسانی-رسوبی میزبان با سن ائوسن میانی-بالائی رخ داده است. رخسارهای متمایز شده در این کانسار شامل: (۱) رگه-رگچه‌ای، (۲) مجموعه‌های برشی دهانه‌ای، (۳) توده‌ای، (۴) لایه‌ای-نواری و (۵) رسوبات گرمابی-بروندمی آهن و منگنزدار می‌باشند. دگرسانی عمده در سنگ دیواره از نوع کلریتی-سیلیسی و سیلیسی-سرپسیتی می‌باشد. دگرسانی کلریتی-سیلیسی همراه با رخسارهای استرینگر و برشی در کمرپایین زیر افق‌های معدنی و در مرکز سیستم وجود دارد و دگرسانی سیلیسی-سرپسیتی در اطراف بخش کلریتی زیرافق‌های معدنی و همچنین به همراه باریت قرار گرفته است. آتالیز الکترون میکروپرورپا بر روی کانه‌های کلریت از کمرپایین (رخسارهای استرینگر) زیرافق دوم و سوم نشان می‌دهد که این کلریت‌ها در رده کلریت‌های غنی از آهن و نزدیک به قطب کلینوکلر هستند که با وینگی‌های کلریت در پهنه‌های دگرسانی کانسارهای سولفید توده‌ای آتشفسانزاد مطابقت نشان می‌دهند. بررسی‌های ژئوشیمیابی رخسارهای کانه‌دار نشان می‌دهد که میزان عناظر Ag, As, Sb, Cu و Sr در بخش چینه‌سان (لایه‌ای-نواری و توده‌ای) زیرافق سوم خیلی بالاتر از زیرافق‌های دیگر است و به طور میانگین به ترتیب برابر ۴۱، ۲۷۳، ۱۹۴۵، ۳۹۰، ۱۰۱۳ ppm می‌باشند. در مجموع مطالعات ژئوشیمیابی نشان دهنده وجود پهنه‌بندی فلزی در این کانسار است که از وینگی‌های کانسارهای VMS می‌باشد. پهنه‌بندی فلزی ناشی از نفوذ سیالات داغ مس‌دار می‌تواند از گسترش پدیده پالایش پهنه‌ای<sup>۱</sup> و رخداد فراپالایش<sup>۲</sup> باشد که نتیجه آن شستشوی دوباره مس توسط سیال داغ گرمابی از مجموعه دهانه‌ای و تهنشست آن در داخل رخساره لایه‌ای-نواری می‌باشد. از میان رخسارهای مختلف زیرافق‌های کانه‌دار کانسار ورندان، رخساره لایه‌ای-نواری زیرافق سوم برای استخراج عناظر کمیاب از جمله نقره می‌تواند دارای ارزش اقتصادی باشد.

واژه‌های کلیدی: باریت-سرپ-مس، سولفید توده‌ای آتشفسانزاد، کوروکو، ژئوشیمی، الکترون میکروپرورپ (EPMA)، ورندان، قمصر.

1. Electron Probe Micro-Analyzer (EPMA)

2. Zone refining

3. Over refining

\* نویسنده مرتبط: fmousivand@yahoo.com

## مقدمه

به اینکه زیرافق‌های کانه‌دار کانسار ورندان از لحاظ عیار و تناز مواد معدنی باریتی و فلزات پایه دارای تغییراتی هستند لذا، عیار و تناز این رخسارهای مختلف کانسار در زیرافق‌ها رسم و مورد مقایسه قرار می‌گیرند. در این مقاله، مطالعات چینه‌شناسی ژئوشیمیایی<sup>۱</sup> یا ژئوشیمی رخسارهای کانه‌دار و شیمی کانی‌های دگرسانی و پهنه‌بندی دگرسانی کانسار باریت-سرپ-مس ورندان، در پهنه ماگمایی ارومیه-دختر مورد بررسی قرار می‌گیرد. همچنین در مورد شباهت و تفاوت‌های پهنه‌بندی دگرسانی کانسار ورندان با کانسارهای VMS بحث خواهد شد.

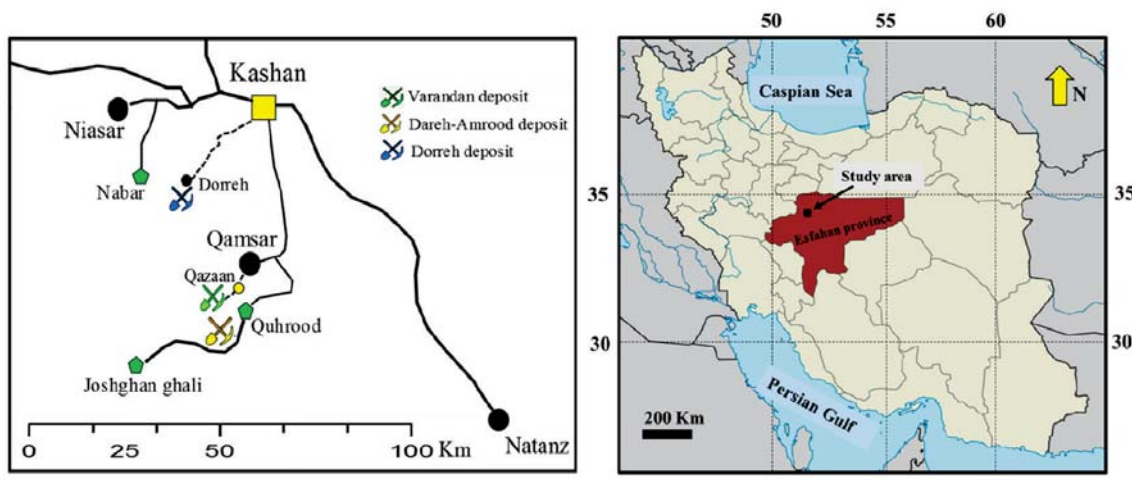
## روش مطالعه

مطالعات صحرائی زمین‌شناسی ناحیه‌ای در محدوده معدنی، بر روی افق‌های اصلی در ناحیه، زیرافق‌ها در کانسار ورندان و همچنین پهنه‌بندی دگرسانی در این کانسار در تابستان ۱۳۹۲ صورت گرفت و بصورت سیستماتیک از داخل تونل‌ها و لایه‌ها نمونه برداری شد. مطالعات جهت تعیین گستردگی نوع دگرسانی و نوع پهنه‌بندی آن در اطراف زیرافق‌های معدنی بصورت پیمایش در اطراف ماده معدنی در صحراء و بررسی تعداد ۲۳ مقطع صیقلی و نازک صیقلی در آزمایشگاه تحقیقات زمین‌شناسی اقتصادی دانشگاه صنعتی شاهroud انجام شد و برای تکمیل مطالعات دگرسانی دو نوع کلریت با رنگ‌های متفاوت از کمربایین زیرافق دوم و سوم انتخاب گردید و به روش الکترون میکروپرپوب (EPMA) در آزمایشگاه‌های مرکز تحقیقات فراوری مواد معدنی ایران (بخش کانی‌شناسی) آنالیز گردید. برای مطالعات ژئوشیمیایی زیرافق‌های کانه‌دار کانسار ورندان، تعداد ۱۷ نمونه به صورت سیستماتیک از داخل تونل‌ها و لایه‌های باریتی، کمر پایین و کمر بالای ماده معدنی و رخسارهای مختلف هر زیرافق، جهت اندازه‌گیری عناصر اصلی و کمیاب برداشت شد و به روش‌های ICP-OES و XRF تجزیه گردید. آنالیزهای مربوطه با حمایت مالی سازمان توسعه معدن و صنایع معدنی ایران<sup>۲</sup> در شرکت فرآوری و تجزیه نمونه‌های معدنی انجام شد.

1. Chemostratigraphy

2. IMIDRO

کانسار سولفید توده‌ای آتشفسانزاد باریت-سرپ-مس ورندان در استان اصفهان و در ۲۰ کیلومتری جنوب‌غرب قم‌صر قرار گرفته است (شکل ۱). پیشینه مطالعات ژئوشیمیایی در منطقه جنوب و جنوب‌شرق کاشان، به عملیات اکتشاف ژئوشیمیایی ناحیه‌ای در ورقه ۱:۲۰۰۰۰ قهروند در قالب پروژه اکتشافی سازمان زمین‌شناسی و اکتشافات معدنی کشور باز می‌گردد که توسط مهندسین مشاور تحقیقات معدنی خاک کوب (۱۳۷۰) به صورت نیمه تفصیلی و به منظور تعیین زمین‌شناسختی-معدنی، پیگیری زون‌های کانه‌دار، تعیین موقعیت آن‌ها و در صورت امکان برآورد ذخیره زمین‌شناسی برای این تمرکزها، مطالعاتی انجام شد و در گوشه شمال‌غربی نقشه ۱:۲۰۰۰۰ قهروند توصیف ناحیه‌ای از منطقه معدنی ورندان ارائه شد. مطالعات پتانسیل اقتصادی بر روی برخی از کانسارهای باریت در پهنه ارومیه-دختر و در ناحیه قم-کاشان-دلیجان مثل کانسار باریت دره کاشان و کانسار تپه سرخ بیچگان دلیجان انجام شده است. بر اساس این تحقیقات تیپ کانه‌زائی در این کانسارها، سولفید توده‌ای آتشفسانزاد تیپ کروکو می‌باشد (نظری و همکاران، ۱۳۷۰) و خلچ معصومی و همکاران، (۱۳۸۹) محققین قبلی (ایزدی، ۱۳۷۵ و فرخ بی و همکاران، ۱۳۸۹) کانسار ورندان (قزاں) را از نوع اپی ترمال دانسته‌اند، اما براساس مطالعات دقیق‌تر انجام گرفته، کانه‌زائی از نوع سولفید توده‌ای آتشفسانزاد تیپ کروکو می‌باشد (هاشمی و همکاران، ۱۳۹۶). قابل ذکر است پروانه بهره‌برداری کانسار باریت دره (درین) کاشان در سال ۱۳۵۵ بنام شرکت سهامی خاص درین کاشان صادر شد. عملیات استخراجی مدت‌ها متوقف ماند و از سال ۱۳۶۶ بهره‌برداری از آن آغاز شد، که در این مدت برای جبران کمبود خوارک کارخانه فرآوری از کانسار باریت-سرپ-مس ورندان نیز باریت استخراج و در سال ۱۳۸۹ استخراج از این معدن به طور کامل متوقف شد. در کانسار ورندان چهار تونل در امتداد چهار زیرافق کانه‌دار بصورت کارهای شدادی قدیمی وجود دارد و هم‌اکنون کانسار بصورت غیرفعال می‌باشد و هیچ‌گونه گمانه اکتشافی و حفاری در کانسار صورت نگرفته است. با توجه



شکل ۱. نقشه راههای دسترسی به کانسار مورد مطالعه (برگرفته از نقشه زمین‌شناسی ۱:۱۰۰۰۰ کاشان (رادفر و همکاران، ۱۳۷۲)

این تاقدیس (بخش<sup>۵</sup> E<sub>۵</sub>) ماهیت چندگانه<sup>۱</sup> دارد و دارای سن ائوسن میانی-بالابی می‌باشد. نقشه زمین‌شناسی و توالی محدوده معدنی در ناحیه ورندان با تلفیق واحدهای سنج‌شناسی (شکل‌های ۲ و ۳) نشان داد که توالی میزبان کانسار به ترتیب شامل سه واحد، Unit1، Unit2 و Unit3 می‌باشد (شکل<sup>۴</sup>). واحد ۱ (Unit1) شامل توف‌سیلیسی خاکستری و سبز رنگ، آندزیت و توف برشی شده است. واحد ۲ (Unit2) شامل آهک نومولیت و مرجان‌دار سفید و واحد ۳ (Unit3) شامل آهک نومولیت و مرجان‌دار سفید و مارن (P1) و آهک نومولیت و مرجان‌دار سفید و خاکستری رنگ، توف آهکی، مارن و شیل است که در نقشه ناحیه‌ای به عنوان بخش اصلی (E<sub>۵</sub>) معرفی شده است. این واحد در توالی کانسار ورندان به دو صورت توف آهکی، شیل و مارن (P1) و آهک نومولیت و مرجان‌دار سفید و خاکستری رنگ که به طور محلی مرمري و اسکارنی شده (P2) معروف شده است (شکل‌های ۳ و ۴). واحد ۳ (Unit3) شامل توف‌برش و کریستال لیتیک توف می‌باشد. واحدهای ۱ و ۲ هر دو جزئی از بخش (E<sub>۵</sub>) در نقشه ناحیه‌ای (شکل ۲) می‌باشند. در این کانسار چهار زیرافق کانه‌دار وجود دارد که توده گرانیتی-گرانودیبوریتی در منطقه ورندان بعداً در این حوضه نفوذ کرده است. جایگاه کانسار مورد مطالعه در نقشه زمین‌شناسی منطقه (شامل بخش‌های اصلی) نشان داده شده (شکل ۲) و توالی چینه‌شناسی آن رسم گردیده

1. Bimodal

### زمین‌شناسی ناحیه‌ای و محدوده‌های معدنی

براساس نقشه‌های ۱:۱۰۰۰۰ کاشان (رادفر و همکاران، ۱۳۷۲) و ۱:۲۰۰۰ قهرمود (شرکت مهندسین مشاور تحقیقات معدنی خاک کوب، ۱۳۷۰) قدیمی‌ترین واحدهای سنگی رخمنون دار در منطقه، ماسه‌سنگ و شیل سازند شمشک (ژوراسیک) و شیل و آهک‌های کرتاسه می‌باشند. بر روی این واحدها بصورت دگرگشیبی، واحدهای سنگی پالئوزن گسترش دارند (شکل ۲). بخش‌های سنگی پالئوزن در محدوده موردن مطالعه بر حسب جایگاه چینه‌شناسی و تغییرات ترکیب سنگ‌شناسی از پایین به بالا به چهار بخش<sup>۵</sup> E<sub>۵</sub> به سن ائوسن میانی، E<sub>۶</sub> ائوسن بالابی، O<sub>۱</sub> اولیگوسن و OM<sub>۹</sub> به سن اولیگومیوسن تقسیم می‌شوند (شکل ۲). بخش<sup>۵</sup> E<sub>۵</sub> شامل توف‌سیلیسی خاکستری و سبز رنگ، آندزیت، توف‌برش، شیل، آهک، مارن و سنگ‌های آذرآواری است. بخش E<sub>۶</sub> شامل آذرآواری‌ها و گدازهای آندزیت-بازالت، ریولیت با ترکیب و بافت متفاوت، همراه با سنگ‌های آتشفسانی-رسوبی نومولیت‌دار و آهک می‌باشد. بخش<sup>۵</sup> O<sub>۱</sub> (سازند قرمز زیرین) شامل کنگلومرای قرمز، مارن، ماسه سنگ و گاهی ولکانیک است و بخش<sup>۹</sup> OM (سازند قم) از شیل خاکستری تیره، مارن سبز، ماسه سنگ و سنگ آهک تشکیل شده است. بر اساس مطالعات انجام گرفته، منطقه ورندان شامل یک تاقدیس و ناودیس است که دارای روند محوری NE-SW می‌باشد (شکل ۳). توالی آتشفسانی-رسوبی تشکیل دهنده

کرده‌اند. همچنین کانسار ورندان با کانسارهای مشابه در ایران و جهان مورد مقایسه قرار گرفته و براساس شواهد موجود، تیپ کانه‌زایی این کانسار از نوع سولفید توده‌ای آتشفسانزاد (VMS) تشخیص داده شده است.

## دگرسانی و پهنه‌بندی آن در کانسار ورندان

دگرسانی عمدۀ در سنگ دیواره کانسار ورندان از نوع کلریتی-سیلیسی و سیلیسی-سرسیتی می‌باشد (شکل ۵) و سنگ میزبانی که این دگرسانی‌ها را متحمل شده است، توف‌های سیلیسی و آندزیت با رگه-رگچه‌های باریتی-سیلیسی فراوان می‌باشد. دگرسانی کلریتی-سیلیسی همراه با رخساره‌های استرینگر و برشی در کمپایین زیرافق‌های عمدۀ و در مرکز سیستم وجود دارد و دگرسانی سیلیسی-سرسیتی در اطراف بخش کلریتی زیرافق‌های عمدۀ و همچنین به همراه باریت قرار گرفته است (شکل ۵). این کانسار در کمر بالای زیرافق‌های یک، دو و سه عمدۀ بشدت دچار دگرسانی سیلیسی-کلریتی شده است (به دلیل تأثیر رخدادهای گرمابی آتشفسانزادهای جدیدتر بر قدیمی‌ترها)، اما در کمر بالای زیرافق چهارم، آثاری از دگرسانی دیده نمی‌شود. در شکل ۵ موقعیت برداشت نمونه‌ها از کلریت‌های مختلف زیرافق دوم و زیرافق سوم (شبیه کلریت‌های زیرافق اول و چهارم) جهت آنالیز الکترون میکروپریوب (EPMA) نشان داده شده است. در شکل ۶، نمائی از زیرافق سوم کانه‌زایی در کانسار ورندان نشان داده شده است. دگرسانی‌های مختلف این زیرافق در نمائی نزدیکتر شامل دگرسانی کلریتی-سیلیسی و سیلیسی-سرسیتی می‌باشد و توسط ریز گسل‌های بعدی جابجا شده‌است. همچنین دگرسانی کلریتی-سیلیسی و دگرسانی سیلیسی-سرسیتی در مقیاس نمونه دستی و میکروسکوپی نشان داده شده است (شکل ۶).

است که در این توالی، زیرافق‌های عمدۀ شامل باریت و سولفیدهای سرب و مس می‌باشد (شکل ۳).

## ویژگی‌های کانه‌زایی در کانسار ورندان

کانه‌زایی در کانسار ورندان در بخش اول (E<sub>1</sub>) و در واحد ۱ (Unit 1) توالی میزبان بصورت رخدادهای عمدۀ متعدد در چهار زیرافق عمدۀ و در یک تاقدیس با روند محوری (NE-SW) رخداده است (شکل ۴). سه زیرافق در یال جنوب‌شرقی و زیرافق چهارم در یال دیگر تاقدیس و در توالی بالاتر از زیرافق ۳ می‌باشد و بصورت همخوان و همرونده با سنگ‌های میزبان قرار گرفته‌اند. در این کانسار چهار تونل در امتداد چهار زیرافق کانه‌دار بصورت کارهای شدادی قدیمی وجود دارد و هم‌اکنون کانسار بصورت غیرفعال می‌باشد و هیچ‌گونه گمانه اکتشافی و حفاری در کانسار صورت نگرفته است (هاشمی و همکاران، ۱۳۹۶). بر اساس مطالعات ساخت، بافت و کانی‌شناسی در کانسار ورندان پنج رخساره کانه‌دار در هرکدام از زیرافق‌های عمدۀ تشکیل شده است و از پایین به بالا عبارتند از: ۱- رگه-رگچه‌های باریتی-سیلیسی سولفیدی قطع کننده سنگ‌های میزبان کانسار (رخساره رگه-رگچه‌ای)، ۲- قطعات باریتی و سنگ میزبان در خمیره‌ای از کانی‌های رسی و جانشینی باریت توسط پیریت‌های توده‌ای (مجموعه‌های برشی دهانه‌ای)، ۳- باریت بصورت توده‌ای همراه با دانه‌های پراکنده سولفیدی (رخساره نیمه توده‌ای و توده‌ای)، ۴- تناوب لایه‌های سفید رنگ باریتی با لایه‌های تیره رنگ از جنس گالن (رخساره لایه‌ای-نواری)، و ۵- ژاسپر سرخ رنگ در بالای بخش لایه‌ای و توده‌ای و قطعات حل شده باریتی در خمیره‌ای از اکسیدهای آهن و منگنز (رسوبات گرمایی-بروندمی آهن و منگنزدار و سولفیدی) (Hashemi et al., 2014).

همچنین هاشمی و همکاران، ۱۳۹۶ (A) ابعاد و عیار کانه‌سازی (به لحاظ طول و ضخامت و مقادیر فلزات پایه) و همچنین توالی پاراژنر کانه‌ها را به صورت گستردۀ مورد بحث و بررسی قرار داده‌اند و افق‌های عمدۀ را با یکدیگر مقایسه

1. Ore

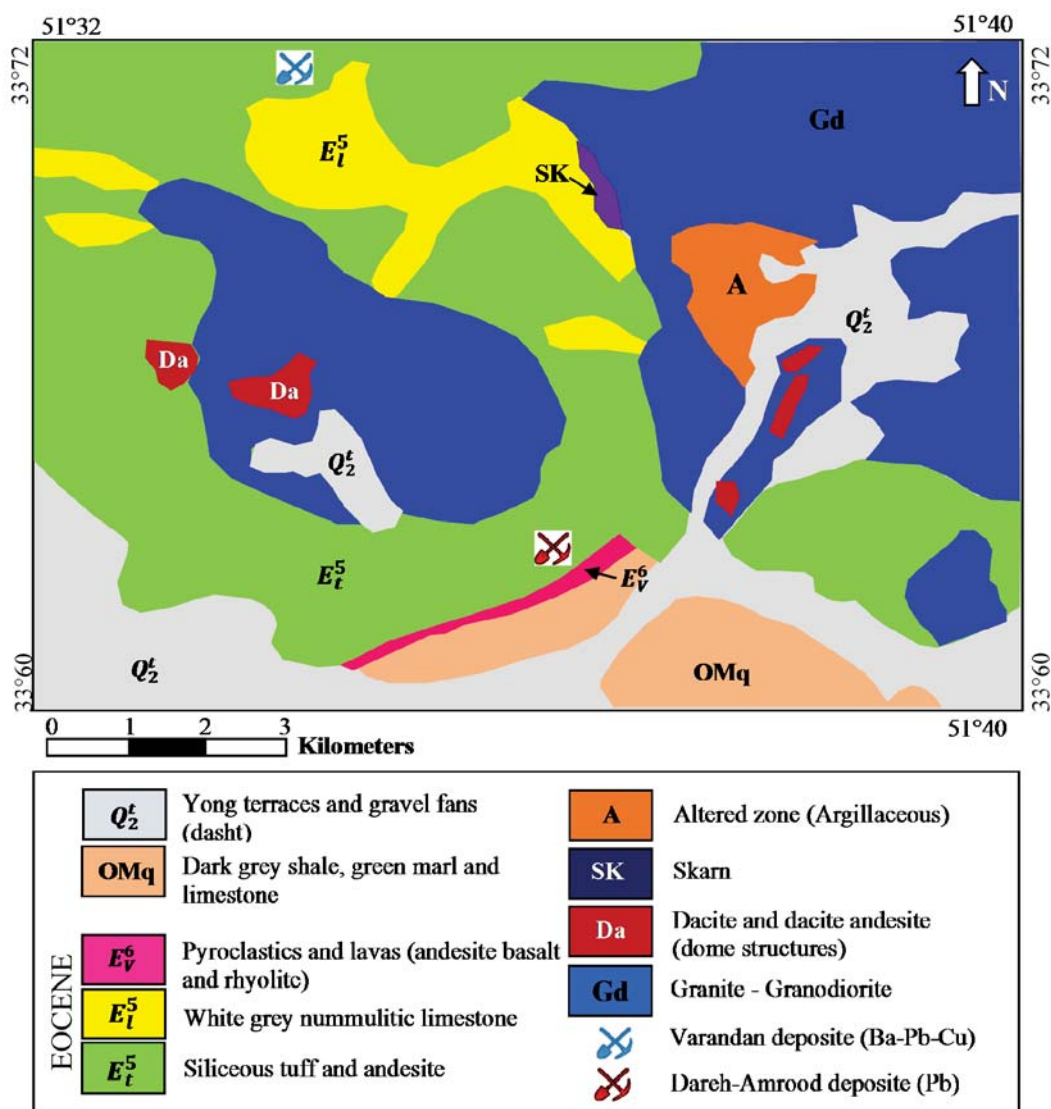
2. Stringer

3. Vent complexe

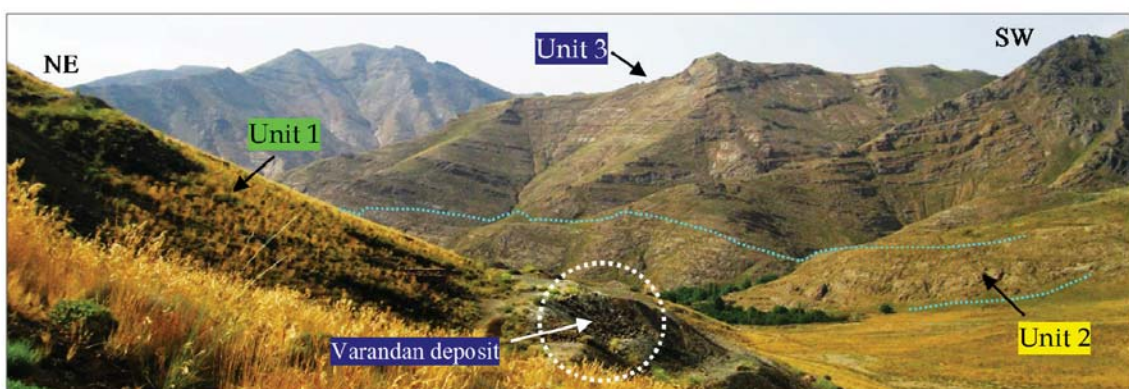
4. Massive

5. Bedded-banded

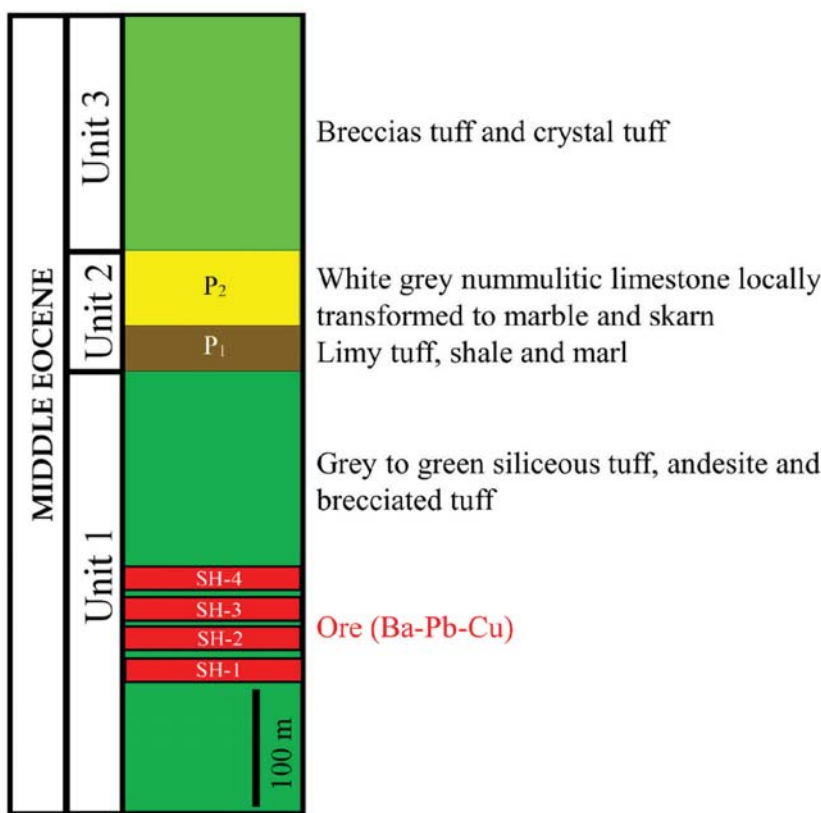
6. Hydrothermal-exhalative sediments



شکل ۲. موقعیت کانسار ورندان و دره‌امرود در بخشی از نقشه زمین‌شناسی مقیاس ۱/۲۵۰۰۰ کاشان و آران و ۱/۱۰۰۰۰ کاشان (همراه با تغییرات برگرفته از (عمیدی و همکاران، ۱۳۵۹، هاشم امامی و همکاران، ۱۳۵۹ و رادر و همکاران، ۱۳۷۲))



شکل ۳. نمایی از موقعیت کانسار ورندان در ناویس و تاقدیس ورندان و واحدهای میزبان کانه‌زائی، واحدها مطابق شکل ۳. (دید به سمت جنوب‌شرق)



شکل ۴. ستون چینه‌شناسی از توالی آتش‌شانی-رسوبی انسن میانی ( $E_i$ ) و جایگاه چهار زیرافق کانه‌دار (4) (SH-1,2,3 and 4) در کانسار ورندان (در توالی کانسار ضخامت ماده معدنی غیر واقعی نشان داده است)

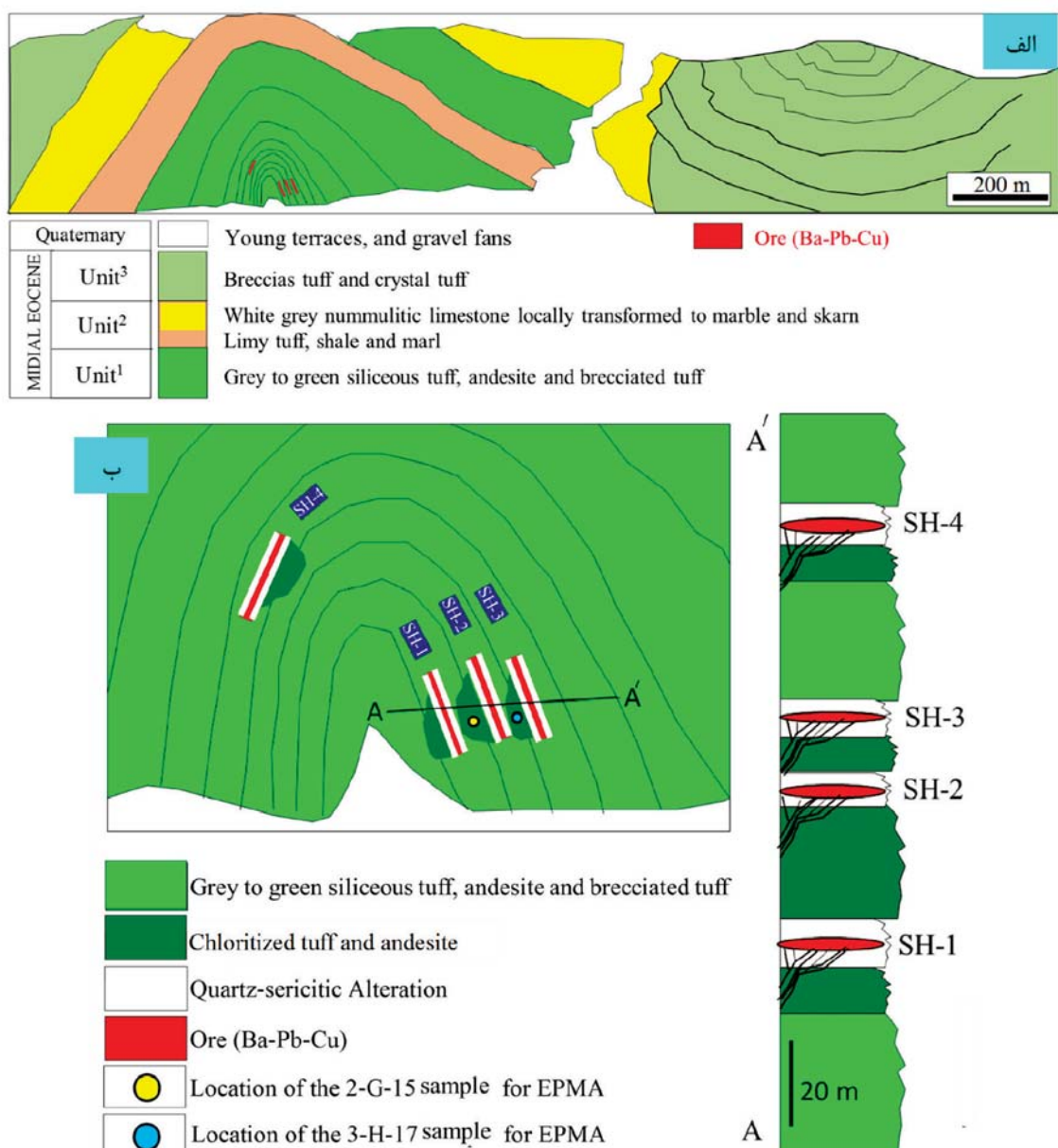
و همچنین محتوای بسیار پایین عناصر شاخص در آن‌ها، امکان شناسایی آنها به روش XRD را مشکل می‌سازد بنابراین این ضرورت ایجاد شد که نوع کلریت‌های موجود و شرایط تشکیل آن‌ها مورد طبقه‌بندی و بررسی قرار گیرد. در این تحقیق یک نمونه از کلریت زیرافق دوم و یک نمونه از کلریت زیرافق سوم (شبیه کلریت‌های زیرافق اول و چهارم) برای آنالیز الکترون میکروپرورب EPMA ارسال شد.

## نمونه A با شماره 2-G-15

این نمونه از رخساره استرینگر زیرافق دوم برداشت شده است. این زیرافق یک توف سیلیسی یا آندزیت کاملاً کلریتی شده می‌باشد که رگه-رگچه‌های سیلیسی در آن وجود دارد و مقداری برشی شده‌اند و سیمان آن‌ها از باریت و به مقدار کمتری سیلیس می‌باشد. همان‌گونه که در شکل‌های ۷-الف، ۸-الف و جدول ۱ مشاهده می‌شود، انجام آنالیز EPMA بر روی این نمونه منجر به شناسایی میزان درصد

## شیمی انواع کلریت‌ها بر اساس روش الکترون میکروپرورب (EPMA)

اساس کار EPMA بمباران الکترونی حجم بسیار کوچکی از نمونه توسط یک تفنگ الکترونی با انرژی بین پنج تا سی کیلو الکترون ولت و اندازه‌گیری میزان فتون‌های X-Ray ساطع شده توسط نمونه می‌باشد. از آنجایی که طول موج X-Ray ساطع شده، مشخصه عنصر معینی می‌باشد، ترکیب نمونه به سادگی توسط ثبت طیف‌های WDS شناسایی می‌شود. الکترون میکروپرورب روشی تمام کیفی و تمام کمی است که قادر است بدون تخریب نمونه، حجم بسیار کوچکی (در حد میکرونی) از نمونه را با حساسیت حدود ppm آنالیز کند. گسترش دگرسانی سیلیسی-کلریتی در کانسار ورندان در همه زیرافق‌ها، همچنین تفاوت در انواع کلریت‌ها، شباهت نزدیک ترکیبات شیمیابی و ساختار بلوری کلریت‌ها



شکل ۵. الف) نمایی شماتیک از زمین‌شناسی و موقعیت زیرافق‌های معدنی (SH-1, 2, 3, 4) و دگرسانی‌های گرمابی در مرکز تاقدیس در کانسار ورندان، ب) ستون چینه‌شناسی کانسار ورندان براساس مقطع زمین‌شناسی AA/A'A'. موقعیت نمونه‌های برداشت شده جهت آنالیز EPMA نشان داده شده است

اکسیدهای اصلی این کلریت شده که در ادامه نوع آن مورد منجر به شناسایی میزان درصد اکسیدهای اصلی این کلریت شده که در ادامه نوع آن مورد بررسی قرار می‌گیرد.

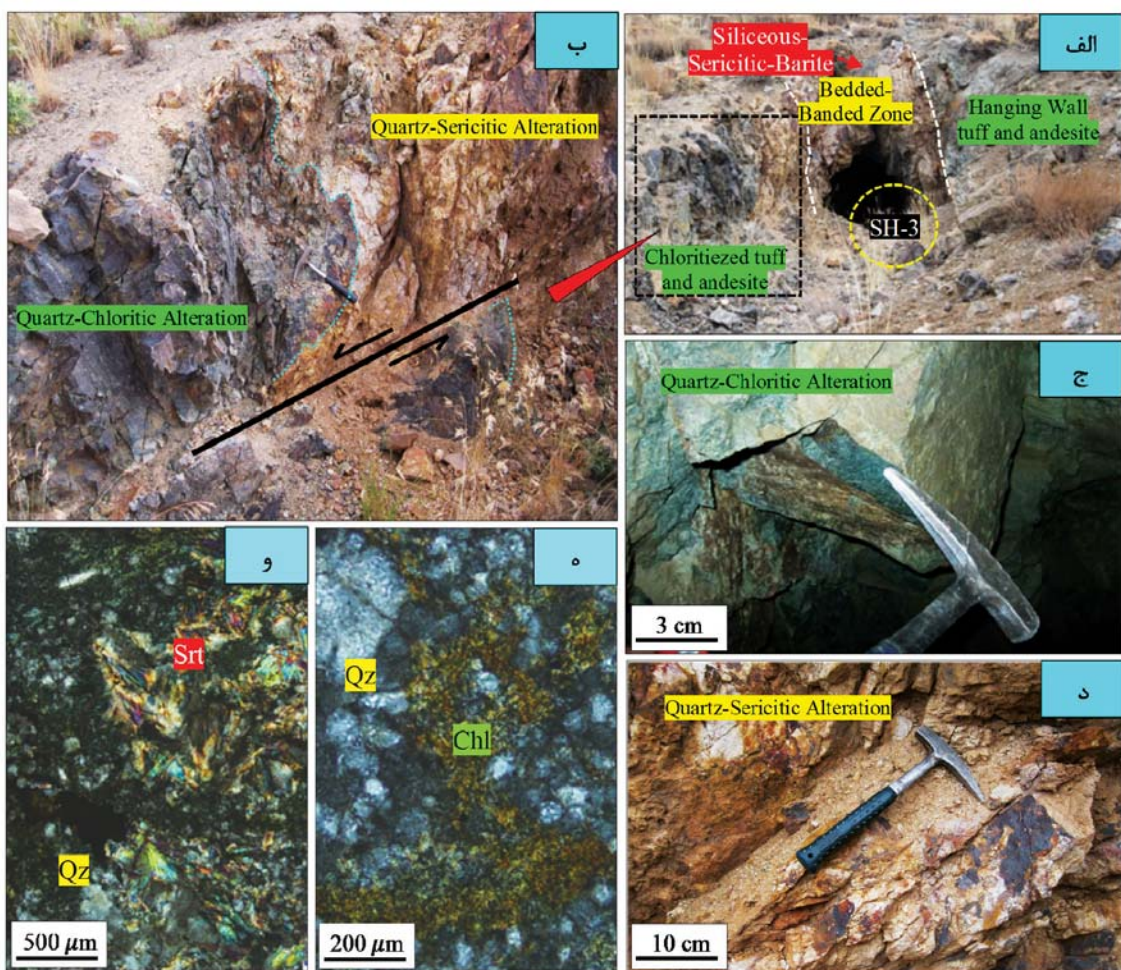
### شیمی کلریت و تعیین نوع آنها

مطالعات الکترون میکروپرتوپ بروی کلریت‌ها در رخساره رگه‌رگچه‌ای (استرینگر زون) از موضوعات مورد توجه محققین می‌باشد. یکی از بهترین و جدیدترین پژوهش‌ها در

بررسی قرار می‌گیرد.

### نمونه B با شماره 3-K-25

این نمونه از رخساره استرینگر زیرافق سوم برداشت شده است. همان‌طور که در شکل‌های ۷-ب، ۸-ب و جدول ۲ مشاهده می‌شود، انجام آنالیز EPMA بر روی این نمونه



شکل ۶. الف و ب) نمایی از زیرافق سوم کانه‌زایی در کانسار ورندان و انواع دگرسانی‌های مختلف این زیرافق در نمایی نزدیکتر، ج) دگرسانی سیلیسی-کلریتی در مقیاس نمونه دستی، د) دگرسانی سیلیسی-سریتی در مقیاس نمونه دستی، ه) دگرسانی سیلیسی-کلریتی در مقیاس میکروسکوبی با بزرگنمایی ۲۰۰ میکرومتر و، و) دگرسانی سیلیسی-سریتی در مقیاس میکروسکوبی با بزرگنمایی ۵۰۰ میکرومتر را نشان می‌دهند. کلریت (Srt)، سرپتیت (Chl) و کوارتز (Qz)

شده‌اند. مهمترین دسته‌بندی‌های جدید برای کلریت‌های تری اکتاهدرال توسط Bayliss (1975) انجام گرفته است که توسط کمیسیون AIPEA فهرست علائم و اختصارات پذیرفته شده است (Bailey, 1980). طبقه‌بندی مشابه توسط Weiss (1990) و Wiewiora and Weiss (1991) انجام گرفته که در این طبقه‌بندی کلریت نه فقط مورد استفاده قرار گرفته که از لحاظ برخی جنبه‌های ساختاری از نظر شیمیایی بلکه از لحاظ برخی جنبه‌های ساختاری مانند فضای دارای هشت وجهی نیز مدنظر قرار گرفته است. آنها سه زیر‌گروه کلریت بسته به دارا بودن نسبت‌های پر و خالی موقعیت هشت وجهی در نظر گرفته‌اند. در این تحقیق از لحاظ ساختاری به کلریت‌ها پرداخته نمی‌شود، بلکه از لحاظ شیمیایی مورد بررسی و مقایسه قرار می‌گیرند. در مجموع

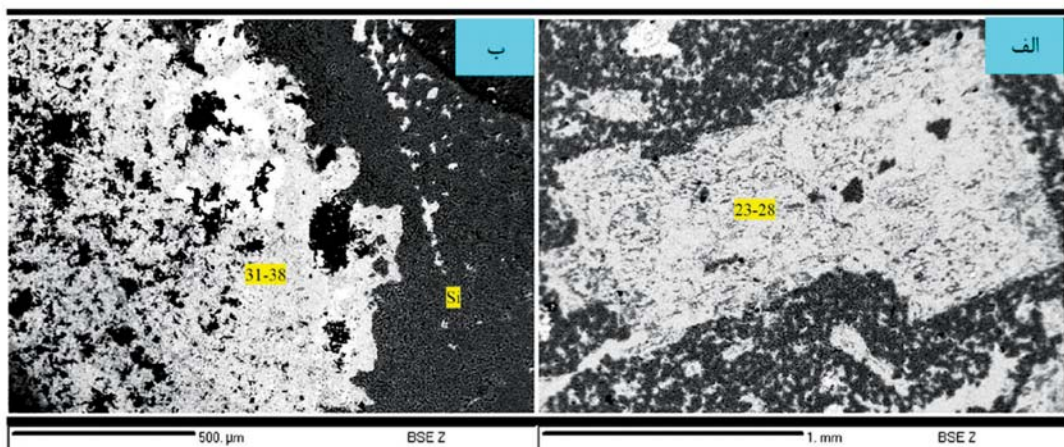
رابطه با این موضوع، تحقیقات (Belkabir et al., 2008) می‌باشد. تنوع ترکیبی در کلریت به قرار گرفتن در حالت اکتاهدرال و تتراهدرال مربوط می‌شود (Zane and Weiss, 1998). سطوح اکتاهدرال بصورت دو نوع رخ می‌دهند: بصورت لایه‌های ۱:۲ و یا در بین لایه‌ها ورقه هیدروکسیدی می‌باشد. طبقه‌بندی‌های شیمیایی-کریستالی مختلف، توسط (Tschermak, 1890, 1891; Orcel, 1926; Orcel et al., 1950; Winchell, 1936; Serdyuchenko, 1953; Hey, 1954; Brindley and Gillery, 1956; Lapham, 1958; Foster, 1962; Fleischner, 1971) برای کلریت‌ها ارائه شده است که همه آن‌ها بر اساس ترکیب شیمیایی و یا خاصیت فیزیکی کلریت انتخاب

قرار می‌گیرند و به قطب کلریت نوع کلینوکلر خیلی نزدیکتر هستند (شکل ۸-الف و ب).

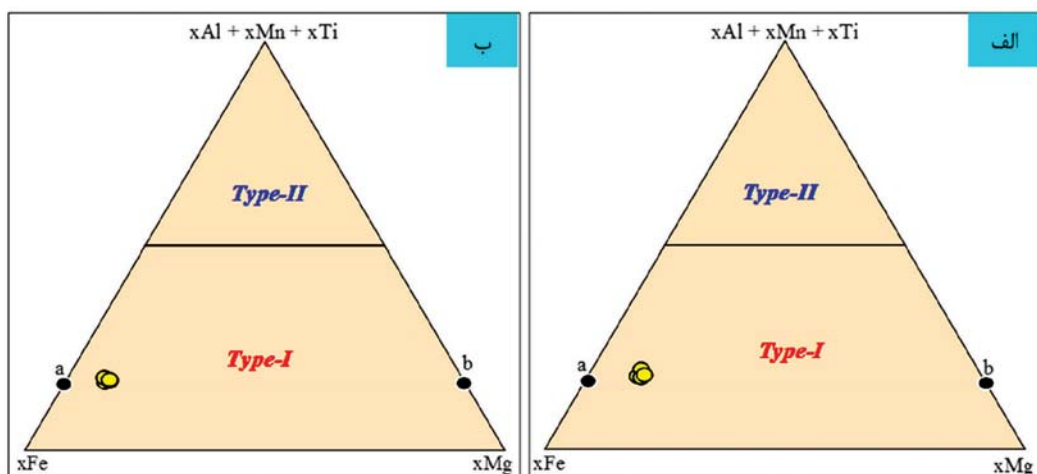
### ویژگی‌های ژئوشیمیایی رخساره‌های کانه‌دار کانسار ورندان

در کانسار ورندان عیار عناصر در هر کدام از رخساره‌های کانه‌دار چینه‌سان (لایه‌ای-نواری)، رگه-رگچه‌ای (استرینگر) و مجموعه دهانه‌ای، دارای تغییراتی است که در ادامه مورد بررسی قرار خواهد گرفت و پهنه‌بندی فلزی در زیرافق‌های این کانسار شناسایی خواهد شد.

براساس داده‌های شیمیایی و از نظر ساختاری کلریت‌ها براساس (Weiss, 1991), Wiewiora and Weiss, (1990) و Zane and Weiss, (1998) دسته‌بندی می‌شوند: ۱) نوع I: مجموع آهن و منیزیم آن‌ها بیشتر از مجموع آلومینیم و دیگر عناصر باشد و ۲) نوع II: مجموع آلومینیم و دیگر عناصر (منگنز و تیتانیوم) آن‌ها بیشتر از مجموع آهن و منیزیم باشد و در دسته‌بندی دیگر به سه نوع تقسیم شده‌اند: ۱) کلریت آهن‌دار، ۲) کلریت منیزیم‌دار و ۳) کلریت آلومینیم‌دار. در این تحقیق هر دو نوع کلریت کانسار ورندان در محدوده کلریت‌های نوع اول و غنی از آهن



شکل ۷. الف) تصویر مربوط به نمونه شماره 2-G-15 که آنالیز الکترون میکروپرور (EPMA) بر روی آن انجام شده است. ب) تصویر مربوط به نمونه شماره 3-K-25 که آنالیز الکترون میکروپرور بر روی آن انجام شده است. اعداد محل آنالیزها را نشان می‌دهند (جدول‌های ۱ و ۲)



شکل ۸. الف) نمودار مربوط به نمونه شماره 2-G-15 و ب) نمودار مربوط به نمونه شماره 3-K-25 که هردوی آنها در محدوده کلریت‌های نوع اول و غنی از آهن قرار دارند (بر اساس Bailey, 1980). a = Chamosite و b = Clinochlore.

1. Fe-chlorite
2. Mg-chlorite
3. Al-chlorite

جدول ۱. ترکیب شیمیایی نقاط مقطع ۲-G-15 به روش الکترون میکروپرور (EPMA) بر حسب درصد وزنی

Point. No	F	Na <sub>2</sub> O	K <sub>2</sub> O	MgO	CaO	MnO	FeO	NiO	Al <sub>2</sub> O <sub>3</sub>	Cr <sub>2</sub> O <sub>3</sub>	SiO <sub>2</sub>	TiO <sub>2</sub>	Total
۲۳/۱.	۰	۰	۰/۱۴	۷/۱۰	۰/۱۱	۱/۰۷	۳۹/۲۷	۰	۲۵/۲۳	۰	۲۷/۰۴	۰/۰۱	۹۹/۹۷
۲۴/۱.	۰	۰	۰/۰۵	۷/۳۳	۰/۰۷۶	۰/۹۴	۳۷/۶۲	۰	۲۵/۷۵	۰	۲۸/۱۹	۰/۰۱	۹۹/۹۶
۲۵/۱.	۰	۰/۰۴	۰/۲۲	۶/۶۹	۰/۱۰	۰/۹۹	۳۸/۳۹	۰	۲۵/۲۶	۰	۲۸/۲۴	۰/۰۴	۹۹/۹۷
۲۶/۱.	۰	۰/۰۲	۰/۱۸	۷/۱۶	۰/۱۰	۰/۹۹	۳۷/۹۵	۰/۰۱	۲۵/۴۷	۰	۲۸/۰۶	۰/۰۲	۹۹/۹۷
۲۷/۱.	۰	۰/۰۵	۰/۰۹	۷/۱۷	۰/۱۱	۱/۰۳	۳۸/۴۹	۰	۲۵/۲۶	۰	۲۷/۷۲	۰/۰۴	۹۹/۹۶
۲۸/۱.	۰	۰/۱۱	۰/۱۶	۷/۱۸	۰/۰۷۸	۱/۰۲	۳۷/۵۰	۰	۲۵/۸۵	۰	۲۸/۰۴	۰/۰۳	۹۹/۹۶

جدول ۲. ترکیب شیمیایی نقاط مقطع ۳-K-25 به روش الکترون میکروپرور (EPMA) بر حسب درصد وزنی

Point.No	Na <sub>2</sub> O	K <sub>2</sub> O	MgO	CaO	MnO	FeO	Al <sub>2</sub> O <sub>3</sub>	Cr <sub>2</sub> O <sub>3</sub>	SiO <sub>2</sub>	TiO <sub>2</sub>	P <sub>2</sub> O <sub>5</sub>	Total
۳۰/۱.	۰/۱۷	۰	۱۶/۰۰	۲۴/۰۷	۰/۱۷	۵/۷۹	۰/۰۳۹	۰	۵۳/۷۳	۰	۰	۹۹/۹۷
۳۱/۱.	۰/۰۵	۰/۰۱	۵/۶۸	۰/۱۱	۱/۰۲	۴/۰۴۷	۲۳/۹۹	۰/۰۱	۲۸/۶۰	۰/۰۲	۰	۹۹/۹۶
۳۲/۱.	۰/۱۳	۰	۶/۳۹	۰/۱۱	۰/۹۸	۳۹/۸۳	۲۳/۳۴	۰	۲۹/۱۶	۰/۰۱	۰	۹۹/۹۵
۳۳/۱.	۰	۰/۰۲	۶/۶۷	۰/۰۶	۰/۹۷	۴۱/۰۸	۲۴/۳۴	۰/۰۱	۲۶/۸۰	۰	۰	۹۹/۹۵
۳۴/۱.	۰/۰۳	۰/۰۱	۶/۳۲	۰/۰۷	۱/۱۲	۴۱/۴۸	۲۴/۳۰	۰	۲۶/۶۰	۰/۰۳	۰	۹۹/۹۶
۳۵/۱.	۰/۰۱	۰/۰۲۲	۶/۲۳	۰/۰۷	۱/۰۱	۴۰/۳۹	۲۴/۴۵	۰/۰۱	۲۷/۷۴	۰/۰۲	۰/۰۲	۹۹/۹۷
۳۶/۱.	۰/۰۷	۰/۰۱	۶/۳۶	۰/۰۶	۰/۹۹	۴۱/۲۷	۲۳/۵۸	۰	۲۷/۶۲	۰	۰	۹۹/۹۶
۳۷/۱.	۰/۰۸	۰/۰۱	۵/۳۲	۰/۰۶	۰/۸۸	۴۰/۴۰	۲۵/۸۸	۰	۲۷/۳۲	۰	۰	۹۹/۹۵
۳۸/۱.	۰/۰۵	۰/۰۲	۶/۲۷	۰/۰۷	۱/۰۲	۴۱/۳۵	۲۴/۴۵	۰	۲۶/۶۸	۰/۰۵	۰	۹۹/۹۶

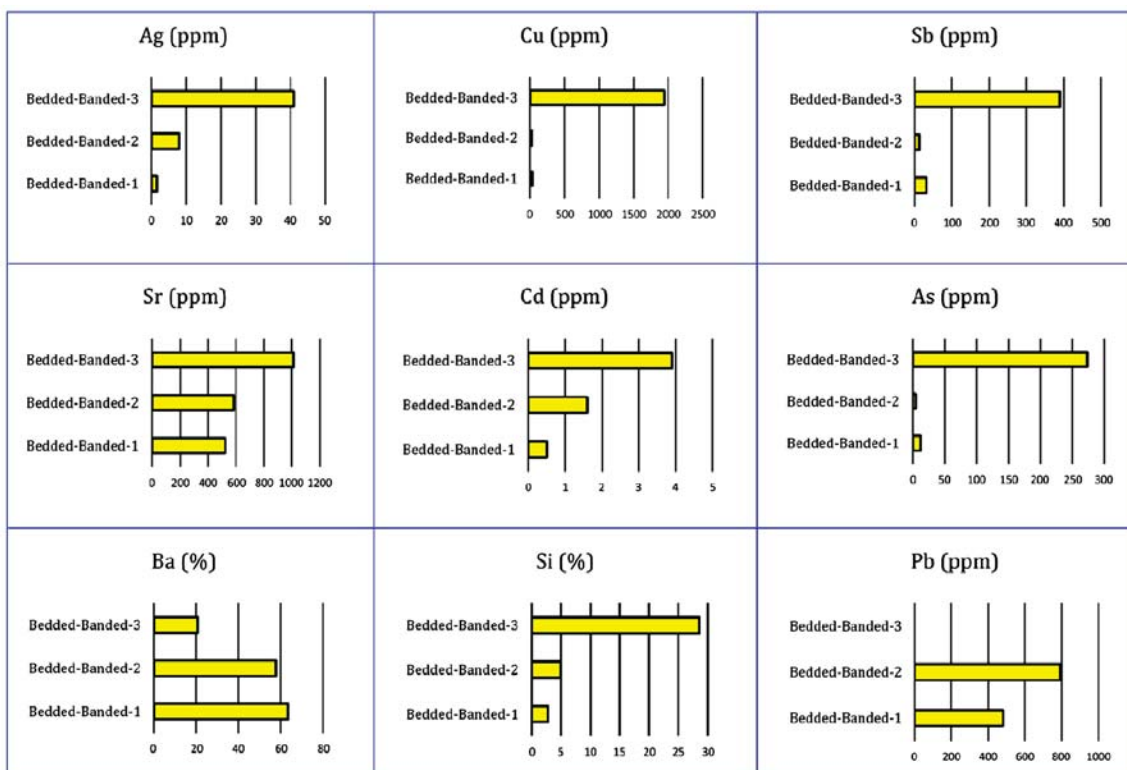
می‌باشد. در بخش لایه‌ای-نواری زیرافق سوم عنصر سرب وجود ندارد اما در همین بخش در زیرافق اول و دوم عیار متوسط آن ۴۸۷ ppm (در زیرافق دوم ۷۹۴ ppm) می‌باشد. میزان روی در این بخش در افق‌های دوم و سوم تقریباً برابر و به ترتیب ۹۱ و ۹۸ ppm اما در زیرافق اول خیلی پایین و ۱۵ ppm می‌باشد که نشان می‌دهد رخساره لایه‌ای نواری زیرافق دوم بالاترین میزان سرب و روی را نسبت به دیگر افق‌ها دارا می‌باشد. همچنین میزان باریت با سیلیس رابطه عکس دارد به طوری که از رخساره چینه‌سان زیرافق اول به سمت زیرافق سوم میزان درصد باریت کاهش و سیلیس افزایش می‌باید (شکل ۹).

### ویژگی‌های ژئوشیمیایی رخساره رگه-رگچه‌ای (استرینگر)

در بخش‌های استرینگر زیرافق سوم عیار متوسط نقره، بریلیوم، مس، لیتیم، آنتیموان و مولیبدن به ترتیب ۶/۵۳، ۱۱۳۰، ۲/۹ و ۱/۲۳ و ۲۷/۳۳ ppm بوده که نسبت

### ویژگی‌های ژئوشیمیایی رخساره چینه‌سان (لایه‌ای-نواری و توده‌ای)

این بخش از کانسار شامل کانسنگ‌های سولفیدی و باریت توده‌ای-نواری همراه با بخش‌های فرعی از نوارهای سیلیسی است. در بخش‌های چینه‌سان زیرافق سوم، عیار متوسط نقره و آرسنیک، مس، آنتیموان، استرانسیم و بریلیوم به ترتیب ۴۱، ۳۹۰، ۱۹۴۵، ۲۷۳، ۱۰۱۳ و ppm ۲/۹ و ۱۰۱۳ می‌باشد. بنابراین عیار متوسط این عناصر در زیرافق سوم خیلی بالاتر است (شکل ۱۲). عیار نقره در بخش لایه‌ای-نواری زیرافق سوم برابر ۴۱ گرم بر تن می‌باشد که نسبت به بخش‌های دیگر کانسار در تمام زیرافق‌ها بالاترین عیار را به خود اختصاص داده است. میزان درصد باریت کاملاً رابطه عکس با عناصر بالا از خود نشان می‌دهد، چنانچه در زیرافق سوم میزان آن ۱۱٪، در افق دوم ۶۴/۳۳٪ و در افق اول ۷۴/۷٪



شکل ۹. تغییرات عیار عناصر نقره (Ag)، مس (Cu)، آرسنیک (As)، کادمیوم (Cd)، استرانسیم (Sr) و سرب (Pb). و درصد باریم (Ba) و سیلیس (Si) در بخش چینه‌سان (لایه‌ای-نواری و توده‌ای) زیرافق‌های اول، دوم و سوم کانسار ورندان

است و در افق‌های دیگر عیار متوسط آن  $40 \text{ ppm}$  می‌باشد.

### مقایسه ویژگی‌های ژئوشیمیایی رخساره‌های زیرافق سوم کانسار ورندان

نظر به اینکه در زیرافق سوم کانسار، میزان عیار عناصر کمیاب نسبت به سایر زیرافق‌ها خیلی بالاتر است به طور خاص ویژگی‌های ژئوشیمیایی آن ارائه شده است (شکل ۱۱). شایان ذکر است رخساره‌های لایه‌ای-نواری و استرینگر زیرافق دوم نسبت به دیگر زیرافق‌ها میزان بالاتری سرب و روی نشان می‌دهند. کانسینگ اصلی رخساره لایه‌ای-نواری زیرافق اول و دوم، باریتی و کمی سیلیسی است اما بر عکس زیرافق سوم دارای کانسینگ اصلی سیلیسی و کمی باریتی می‌باشد. در زیرافق سوم میزان عناصر Ag، Sb و As از پایین به بالا (از رخساره استرینگر به سمت رخساره لایه‌ای-نواری و توده‌ای) افزایش می‌یابد (شکل ۱۲). عنصر سرب در رخساره لایه‌ای-نواری وجود ندارد اما در رخساره استرینگر عیار متوسط آن  $613 \text{ ppm}$  می‌باشد. مس در رخساره‌های

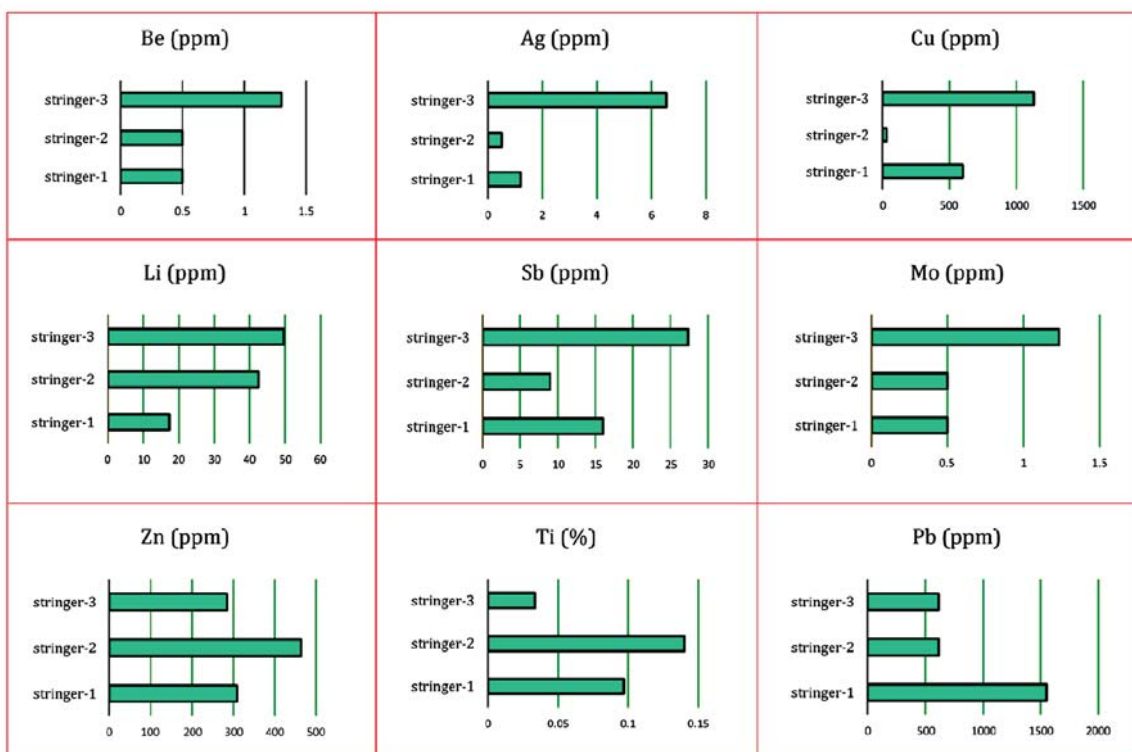
به زیرافق‌های اول و دوم کانسار (با عیار متوسط  $0.85/0.85$ )،  $330/330$ ،  $11/11$ ،  $14/14$  و  $1/1 \text{ ppm}$  خیلی بالاتر می‌باشد. عیار متوسط سرب در استرینگر زیرافق اول  $1549/33 \text{ ppm}$  بوده که نسبت به استرینگر افق‌های دیگر کانسار (با عیار متوسط  $443/66 \text{ ppm}$ ) میزان بالایی را نشان می‌دهد. عیار متوسط روی و تیتانیوم در استرینگر افق دوم، بالاترین عیار به ترتیب  $463 \text{ ppm}$  و  $0.14 \text{ ppm}$  (درصد) را نسبت به استرینگر دیگر زیرافق‌ها دارد که در استرینگر همین زیرافق مس پایین‌ترین عیار ( $32 \text{ ppm}$ ) را از خود نشان داده است (شکل ۱۰).

### ویژگی‌های ژئوشیمیایی رخساره مجموعه دهانه‌ای

بافت نمونه‌های این رخساره بصورت برشی است. بصورت قطعاتی از کانی‌های کوارتز و باریت در یک زمینه غنی از مگنتیت و کالکوپیریت. در این بخش در زیرافق اول، عیار متوسط آرسنیک یک آنومالی شدید نسبت به سایر بخش‌های کانسار نشان می‌دهد. عیار آرسنیک در این رخساره حدود  $2282 \text{ ppm}$

نواری است (هاشمی و همکاران، ۱۳۹۶). عناصر سرب و روی در رخساره لایه‌ای-نواری کم شده و احتمالاً از محل خروج سیال به دلیل تحرک بالا دور شده‌اند. از میان رخساره‌های زیرافق سوم، رخساره لایه‌ای-نواری با جنس کانسینگ اصلی سیلیسی براي استخراج عناصر کمیاب از جمله نقره می‌تواند دارای ارزش اقتصادی باشد.

استرینگر و لایه‌ای-نواری زیرافق سوم عیار بالای از خود نشان می‌دهد اما در نمونه مجموعه دهانه‌ای میزان آن کاهش یافته است که دلیل آن می‌تواند گسترش بیش از اندازه پدیده پلاش پهنه‌ای<sup>۱</sup> و رخداد فراپلاش<sup>۲</sup> باشد که نتیجه آن شستشوی دوباره مس توسط سیال داغ گرمابی از مجموعه دهانه‌ای و تهنشست آن در داخل رخساره لایه‌ای-



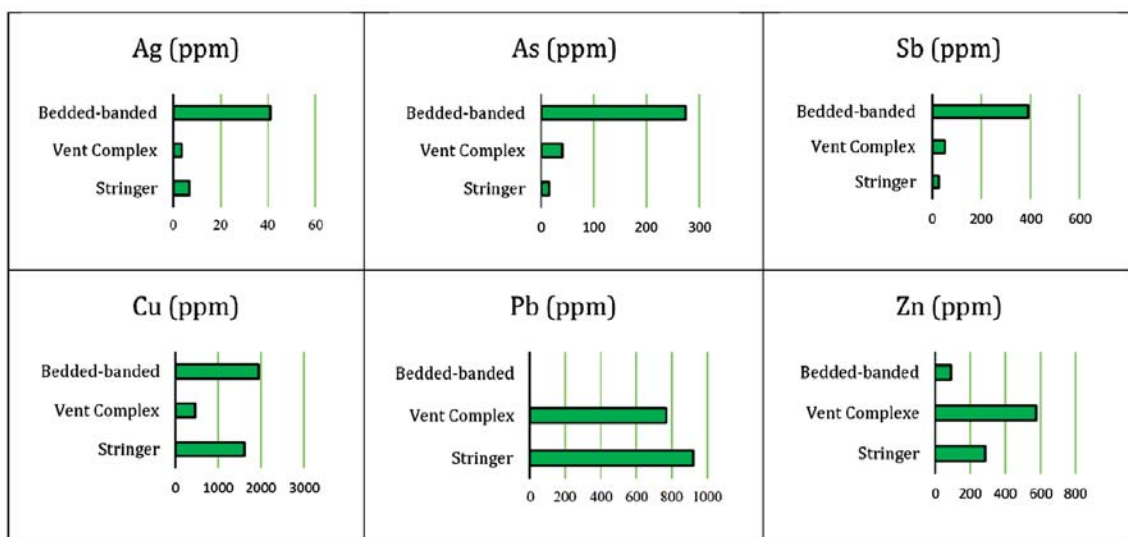
شکل ۱۰. تغییرات عیار عناصر نقره (Ag)، لیتیم (Cu)، بریلیوم (Be)، مس (Sb)، آنتیموان (Li)، مولبیدن (Mo)، سرب (Pb)، روی (Zn) و تیتانیوم (Ti) در بخش رگه-رگچه‌ای<sup>۳</sup> در زیرافق‌های اول، دوم و سوم کانه‌دار کانسار ورندان

## بحث

ارتباط نزدیکی با محل خروج سیالات کانه‌ساز دارد و در کانسار ورندان مطابقت زیادی از لحاظ محل و موقعیت این رخساره‌ها با کانسارهای VMS وجود دارد. مهمترین شکل کانه‌زائی در ذخایر VMS بصورت عدسی‌های سولفیدی توده‌ای و باریتی، به حالت چینه‌سان در بخش فوکانی ذخیره و رخساره رگه-رگچه‌ای بصورت قیفی شکل در

رخساره‌های کانه‌دار متمایز شده در کانسار ورندان شامل: (۱) رگه-رگچه‌ای، (۲) مجموعه‌های برشی دهانه‌ای، (۳) توده‌ای، (۴) لایه‌ای-نواری و (۵) ژاسپر سرخ رنگ هماتیت‌دار و رسوبات گرمابی-بروندمی آهن و منگنزدار و سولفیدی می‌باشند. این رخساره‌ها در کانسارهای سولفید تودهای آتشفسانزاد (VMS) دنیا توسط Gibson and Kerr, (1998); Lobanov and Gaskov, (2012); Franklin et al., (1998); Goodfellow, (2004) نیز گزارش شده‌اند، تشكيل این رخساره‌های کانه‌دار براساس

1. Zone refining  
2. Over refining  
3. Stringer zone



شکل ۱۱. تغییرات عیار عناصر نقره (Ag)، آرسنیک (As)، آنتیموان (Sb)، مس (Cu)، سرب (Pb) و روی (Zn)، در رخسارهای مختلف زیرافق سوم کانسار ورندان

(Allen, 2003) می‌باشد. در مجموع از نتایج این پژوهش‌ها به طور کلی پذیرفته شده است که دگرسانی هیدروترمال که سنگ کمرپایین را احاطه کرده است و در زیر کانسارهای سولفید توده‌ای آتشفسانزاد قرار دارد، نتیجه تعامل شدید بین آب داغ و سنگ دیواره (گردش تکاملی آب دریا) می‌باشد که در کانسار ورندان نیز در کمرپایین هر چهار زیرافق معدنی قرار گرفته است. این فرایند دگرسانی همزمان با شکل‌گیری VMS در کف دریا رخ می‌دهد. همچنین پهنه‌بندی دگرسانی گرمابی مناطق مشابه با کانسار ورندان در ارتباط با کانسارهای VMS در کمربند پیریتی ایبرین<sup>۱</sup> یافت شده‌اند. این پهنه‌بندی‌ها معمولاً به شکل هاله گسترده و محصور در اطراف بخش استوکورک و در زیر بخش ماده معدنی توده‌ای قرار گرفته است بهترین مثال کانسارهای Rio Tinto<sup>2</sup> (Almodoavar et al., 1994), آزنالکوالار<sup>3</sup> (Leistel et al., 1994) و ماس لازارا<sup>4</sup> (Strauss et al., 1981, et al., 1997) و لورده<sup>5</sup> (Toscano et al., 1993, 1994) و در بخش اسپانیایی کمربند پیریتی ایبرین کانسارهای الجستره<sup>6</sup>

1. Iberian Pyrite Belt (IPB)

2. Rio tinto

3. AznalcoÂ llar

4. La Zarza

5. Masa valverde

6. Aljustrel

بخش تحتانی ذخیره می‌باشد (Gemmell et al., 1998; Haninngton et al., 1999) در کانسار ورندان نیز براساس مشاهدات، ماده‌معدنی بصورت پیکره‌های لایه‌ای-نواری، عدسی شکل و بصورت همخوان و همرونده با لایه‌بندی سنگ‌های درونگیر تشکیل شده است. این پیکره‌ها دارای ضخامت متغیر از ۰/۵ تا سه متر و طول ۱۰۰ تا ۲۰۰ متر هستند. در بخش تحتانی ذخیره، رخساره رگه-رگچه‌ای بصورت قیفی‌شکل همانند ذخایر VMS در دنیا قرار دارد. در بحث مربوط به پهنه‌بندی دگرسانی، رخداد دگرسانی گرمابی مؤثر بر سنگ میزبان در ذخیره‌های سولفید توده‌ای آتشفسانزاد (VMS) به طور گسترده‌ای مورد مطالعه قرار گرفته است که شامل کانسارهای VMS کانادا با میزبانی آتشفسانی (Nelson et al., 2002; Gaboury and Pearson., 2008) کانسارهای استرالیا (Largeetal., 2001), کانسارهای حوضه هوکروکو در ژاپن، Ohmoto, 1983; Urabe and Scott, 1983; Sanchez- (Sanchez, 1996), کانسارهای کمربند پیریتی ایبرین-Cagatay, España et al., 2000)) کانسارهای گینه نو (Pasava et al., 2004), کانسارهای پرتغال (Relvas et al., 2006) و دیگر مطالعات جدید شامل سیستم‌های هیدروترمالی در کف دریای امروزی (Goodfellow and Peter, 1996; Doyle and

مس و برخی از فلزات از رخساره‌های استرینگر و مجموعه دهانه‌ای شسته شده و در رخساره چینه‌سان تهنشست شده‌اند و بیشترین تمکر را در این رخساره دارند. همچنین سرب و روی به دلیل تحرک بالاتر (نسبت به مس) به احتمال زیاد در رخساره چینه‌سان زیرافق سوم از محل دور شده‌اند (شکل ۱۲-الف)، اما در مجموع در هر کدام از زیرافق‌هایی که این پدیده‌ها کمتر رخ داده نظم بیشتری وجود دارد. همچنین قابل ذکر است که براساس هاشمی و همکاران، (۱۳۹۶) ویژگی‌های ساختمانی، سنگ میزبان و بسیاری از مشابه تیپ کروکو در ایران و جهان مقایسه شده است و شباهت این کانسار با کانسارهای تیپ کروکو مشخص شده است. براساس نتایج EPMA در این تحقیق، هر دو نوع کلریت کانسار ورندان در محدوده کلریت‌های نوع اول و غنی از Fe قرار می‌گیرند و به قطب کلریت نوع کلینوکلر خیلی نزدیک هستند. با توجه به اینکه این کلریت‌ها در کانسار ورندان در کمرپایین و مرکز سیستم دگرسانی قرار دارند نشان از یک محدوده دما بالا می‌باشد که در کانسارهای سولفید توده‌ای آتشفشانزد دنیا نیز مورد مطالعه قرار گرفته است و با کانسار ورندان قابل مطابقت می‌باشد (نتایج EPMA توسط Sanchez-espana et al., 2000).

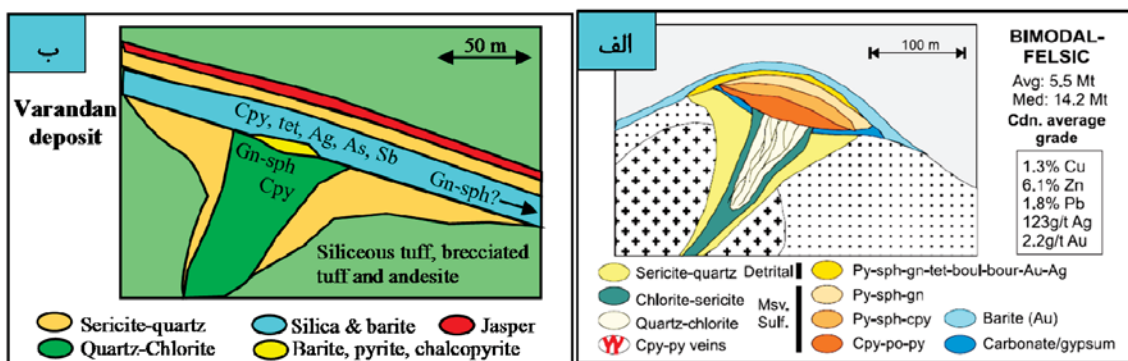
نمودهای دگرشکلی بصورت‌های چین‌خوردگی، گسل‌خوردگی، خردش‌گی در داخل مواد معدنی و سنگ‌های میزبان آن‌ها همانند سنگ‌های توالی میزبان دیده می‌شود. رگه‌رگچه‌های چین‌خورد در داخل توفهای سیلیسی کلریتی شده حاوی سولفیدهای دانه‌پراکنده کمرپایین قابل مشاهده است. به طور کلی تاریخچه دگرشکلی در ماده معدنی و سنگ‌های میزبان یکسان می‌باشد.

1. Salgadinho

2. Zone refining

3. Over refining

(Barriga and Fyfe, 1997) و سالگادینو در پرتغال (Plimer and Carvalho, 1982) می‌باشند. مطالعات انجام گرفته شده در این کانسارها تغییرات کانی‌شناسی و تحرک‌پذیری عناصر اصلی و کمیاب در سنگ‌های دگرسان شده در کانسارهای VMS را شرح می‌دهند که در واقع، کلی‌ترین ویژگی پدیدارشدن پهنه غنی از Fe-Mg و کاهش سدیم Na-K، در نزدیکی ماده معدنی است. دگرسانی عمده در سنگ‌های درونگیر کانسار ورندان، دگرسانی سیلیسی-کلریتی است که بصورت آندزیت و توفهای سیلیسی کلریتی شده با رگه-رگچه‌های سیلیسی فراوان دیده می‌شود. دگرسانی کوارتز-سریسیتی نیز بر سنگ‌های درونگیر اثر کرده است و در اطراف دگرسانی سیلیسی-کلریتی و ماده معدنی وجود دارد. به طور کلی دگرسانی کوارتز-سریسیتی به میزان انداز در عمله سنگ‌های توالی دیده می‌شود. پهنه‌بندی دگرسانی کانسار ورندان شبیه به تیپ کروکو در دسته‌بندی (Galley et al., 2007) می‌باشد (شکل ۱۲). یکی از ویژگی‌های کانسارهای VMS وجود منطقه‌بندی بافت، کانی و عنصر در اطراف محل خروج سیالات کانه‌ساز بطرف بخش لایه‌ای-نواری می‌باشد به این شکل که پهنه‌بندی عنصری در این نوع کانسارها شامل زون غنی از Cu (در صورت وجود) بصورت استرینگر در کمرپایین و زون غنی از Zn و Pb بصورت سولفید توده‌ای و چینه‌سان در کمربالا و باریت بصورت توده‌ای و چینه‌سان در فوقانی‌ترین بخش ذخیره می‌باشد؛ Large., 1992 (Gemmell et al., 1998) در جدول ۳ عیار عناصر مهم همراه با هر کانسنگ و رخساره‌های مختلف کانسار ورندان مشخص گردیده است که نشان می‌دهد پهنه‌بندی عنصری از لحاظ کانی‌ها و عناصر فلزی همراه، تقریباً مشابه با کانسارهای VMS است با این تفاوت که در کانسار ورندان به دلیل رخداد پدیده پالایش پهنه‌ای<sup>2</sup> و رخداد فرایپالایش<sup>3</sup> و همچنین تاثیر زیرافق‌های مختلف بر روی همدیگر، تغییراتی در کانسار رخ داده است به این شکل که در زیرافق سوم،



شکل ۱۲. (الف) مدل دگرسانی برای کانسارهای تیپ کروکو (Galley et al., 2007)، (ب) نمایی شماتیک از زیرافق سوم کانزائی که در آن پهنه‌های دگرسانی اصلی و افق ماده معدنی مشخص شده است. Cpy = Chalcopyrite, Galena = Gn, Silver = Ag, Tetrahedrite = tet, Sphalerite = sph, Arsenic = As, Stibnite = Sb

جدول ۳. ویژگی‌های کلی کانی‌شناسی، دگرسانی و ژئوشیمیابی رخساره‌های مختلف کانسار ورندان

رخساره استرینگر	رخساره مجموعه دهانه‌ای	رخساره چینه سان (لایه‌ای-نواری) و توده‌ای			
توف سیلیسی با دگرسانی کلریتی شدید	قطعات برشی کوارتزی و کمی پاریتی با زمینه ای از خوبی رسی	کمر بالا و کمر پایین: توف سیلیسی و آندزیت با دگرسانی سیلیسی-سرستی کمی پاریتی با زمینه ای از خوبی رسی	سنگ میزان		
کانستگ سیلیسی	ب-کانستگ سولفیدی ج-کانستگ سیلیسی	ب-کانستگ برشی سیلیسی	ماهیت سنگ		
تصورت رگه-رگه ای در توهای سیلیسی و آندزیت های کمر پایین	غلب بصورت لایه‌ای-نواری بصورت توده ای ببریت و بصورت قطعات برشی هراه پاپریت تا خلخت باریت در کثار هم هیدروترمال	غلب بصورت لایه‌ای-نواری بصورت توده ای ببریت و بصورت قطعات برشی هراه پاپریت تا خلخت متوجه در لایه هرافق باریتی قی سوم	شکل کانی سازی اولیه در مقیاس رخمنون (نمونه دستی)		
Cpy>>Bor>>Py>Mar>Cc> Cu>Cov>Ma>Alezh>Dyzh> Rutil>Ma>Gove	Siliceses>>>Barite>> Ma>Py>Cov>	Py>>Cpy>Ma Ag,As,Cu,Br,Sb,Mo,Sr	Siliceses>>>Barite>> Ga>Py>Cpy>Sph>Tet Ag,As,Cu,Br,Sb,Mo,Sr	Barite>>>Ga>>Py>Cpy> Sph>Tetr > Cov>Ma Ag,As,Cu,Br,Sb,Mo,Sr	کانی شناسی عنصر فلزی همراه
2.74	3.75	1.5	41	4.7	Ag (ppm)
17.77	1161	18	273	8.5	As (ppm)
588	514.5	127	1945	29	Cu (ppm)
0.8	0.5	>1	>1	>1	Be (ppm)
17.44	63	12	390	22.5	Sb (ppm)
0.74	0.5	0.5	0.5	0.5	Mo (ppm)
186.55	>1	>1	>1	>1	Sr (ppm)
36.5	24.5	1503	1013	369	Li (ppm)
	8.5	48	>10	>10	

## منابع

- ایزدی، ح.، ۱۳۷۵. بررسی زمین‌شناسی، سنگ‌شناسی و ژنز باریت-سرپ قزآن قمصر کاشان. پایان نامه کارشناسی ارشد، دانشگاه آزاد، واحد شمال، ۱۶۰.
- آقانباتی، س. ع.، ۱۳۸۳. زمین‌شناسی ایران. سازمان زمین‌شناسی و اکتشافات معدنی کشور، ۴۰۰.
- خاج مقصومی، م.، لطفی، م. و نظری، م.، ۱۳۸۹. تعیین مدل کانی سازی معدن تپه سرخ بیجگان دلیجان-استان مرکزی. فصلنامه تخصصی زمین و منابع، سال اول، ۲، ۴۳-۳۳.
- رادفر، ج.، علایی مهابادی، س. و هاشم‌امامی، م.، ۱۳۷۲. نقشه زمین‌شناسی ۱/۱۰۰۰۰ کاشان. سازمان زمین‌شناسی و اکتشافات معدنی کشور.
- شرکت مهندسین مشاور تحقیقات معدنی خاک کوب، ۱۳۷۰. شرح نقشه زمین‌شناسی ۲۰۰۰۰: ۱: منطقه قهروود (کاشان)، وزارت معادن و فلزات.
- عمیدی، م.، هاشم‌امامی، م. چ. و زوهره‌بخش، م. ا.، ۱۳۵۹. نقشه زمین‌شناسی مقیاس ۱/۲۵۰۰۰ کاشان. سازمان زمین‌شناسی و اکتشافات معدنی ایران.
- فخری‌پی، م.، شمسی پور، ر. و نصر اصفهانی، ع.، ۱۳۸۹. پترولوزی اقتصادی توده نفوذی ورندان قرآن: بررسی ذخایر فلزی. دانشگاه آزاد اسلامی واحد خوارسگان. همایش پترولوزی کاربردی، ۷-۱.
- نظری، م.، یعقوب پور، ع. و مدنی، ح.، ۱۳۷۰. کانسار باریت درین کاشان. دانشگاه تربیت معلم، چهارمین سمپوزیوم معدنکاری ایران.
- هاشم‌امامی، م. چ.، ۱۳۵۹. نقشه زمین‌شناسی مقیاس ۱/۲۵۰۰۰ آران. سازمان زمین‌شناسی و اکتشافات معدنی ایران.
- هاشمی، ف.، موسیوند، ف. و رضایی کهخائی، م.، ۱۳۹۶. افق‌های کانه‌دار، رخساره‌های کانسنگ، ژئوشیمی و الگوی تشکیل کانسار سولفید توده‌ای آتشفسانزاد (VMS) باریت-سرپ-مس ورندان جنوب‌غرب قمصر. مجله زمین‌شناسی اقتصادی مشهد، ۲ (۹)، ۵۸۷-۶۱۶.
- Almodovar, G.R., Saaez, R., Pons, J.M., Maestre, A., Toscano, M. and Pascual, E., 1997. Geology and genesis of the AznalcoÂ llar massive sulphide deposits, Iberian Pyrite Belt, Spain. Min-

## نتیجه‌گیری

براساس نتایج EPMA در این تحقیق، هر دو نوع کلریت کانسار ورندان در محدوده کلریت‌های نوع اول و غنی از Fe قرار می‌گیرند و به قطب کلریت‌ها در کانسار ورندان هستند. با توجه به اینکه این کلریت‌ها در کانسار ورندان در کمرپایین و مرکز سیستم دگرسانی قرار دارند نشان از یک محدوده دما بالا می‌باشد که با کانسارهای سولفید توده‌ای آتشفسانزاد دنیا نیز مطابقت دارد. طبق مطالعات ژئوشیمیابی انجام گرفته در منطقه، از تمام رخسارهای زیرافق‌های کانسار ورندان، زیرافق سوم کانسار ورندان نسبت به دیگر زیرافق‌های معدنی بالاترین عیار عنصر کمیاب را از خود نشان می‌دهد. کانسنگ اصلی رخساره لایه‌ای-نواری افق اول و دوم، باریتی و کمی سیلیسی است، اما بر عکس زیرافق سوم دارای کانسنگ اصلی سیلیسی و کمی باریتی می‌باشد. براساس مطالعات ژئوشیمیابی در رخسارهای کانه‌دار، میزان عنصر As, Cu, Sb و Ag در بخش چینه‌سان (لایه‌ای-نواری و توده‌ای) زیرافق سوم خیلی بالاتر از زیرافق‌های دیگر است و به ترتیب برابر ۴۱، ۲۷۳، ۱۹۴۵ و ۳۹۰ ppm می‌باشد. در زیرافق سوم میزان عنصر As, Ag و Sb از پایین به بالا (از رخساره استرینگر به سمت رخساره لایه‌ای-نواری و توده‌ای) افزایش می‌یابد. سرب در رخساره لایه‌ای-نواری وجود ندارد اما در رخساره استرینگر عیار متوسط آن ۶۱۳ ppm می‌باشد. قابل ذکر است که میزان سرب و روی در رخساره‌های مختلف زیرافق دوم کانسار ورندان نسبت به دیگر زیرافق‌ها عیار بالای نشان می‌دهند. مس در رخساره‌های استرینگر و لایه‌ای-نواری زیرافق سوم عیار بالایی از خود نشان می‌دهد اما در نمونه مجموعه دهانه‌ای میزان آن کاهش یافته است که دلیل آن می‌تواند گسترش بیش از اندازه پدیده پالایش پهنه‌ای و رخداد فرایپالایش باشد که نتیجه آن شستشوی دوباره مس توسط سیال داغ گرمابی از مجموعه دهانه‌ای و تهنشست آن در داخل رخساره لایه‌ای-نواری می‌باشد. اما عناصر سرب و روی در رخساره لایه‌ای-نواری کم شده و احتمالاً از محل خروج سیال به دلیل تحرک بالا دور شده‌اند.

- eralium Deposita. 33 (1-2), 111-136.
- Bailey, S.W., 1980. Summary of recommendations of AIPEA nomenclature committee. Clay Minerals, 15, 85-93.
  - Barriga, F.J.A.S. and Fyfe, W.S., 1997. Multi-phase water-rhyolite interaction and ore fluid generation at Aljustrel, Portugal. Mineralium Deposita. (1-2), 188-207.
  - Bayliss, P., 1975. Nomenclature of the trioctahedral chlorites. The Canadian Mineralogist, 13, 178-180.
  - Belkabir, A., Gibson, H.L., Marcoux, E., Lentz, D. and Rziki, S., 2008. Geology and wall rock alteration at the Hercynian Draa Sfar Zn-Pb-Cu massive sulphide deposit, Morocco. Ore Geology Reviews, 33, 280-306.
  - Brindley, G.W. and Gillery, F.H., 1956. X-ray identification of chlorite species. The American Mineralogist, 41, 169-186.
  - Cagatay, M.N., 1993. Hydrothermal alteration associated with volcanogenic massive sulfide deposits; examples from Turkey. Economic Geology, 88, 606-621.
  - Doyle, M.G. and Allen, R. L., 2003. Subseafloor replacement in volcanic-hosted massive sulfide deposits. Ore Geology Reviews, 23, 183-222.
  - Fleischner, M., 1971. Glossary of Mineral Species. Mineralogical Record, Maryland, 103.
  - Foster, M.D., 1962. Interpretation of the Composition and a Classification of the Chlorites: US Geological Survey Professional, 414.
  - Franklin, J.M., Harrington, M.D., Jonasson, I.R. and Barrie, C.T., 1998. Volcanogenic massive sulfide deposits. Canada Geological Survey, 33, 175-192.
  - Gaboury, D. and Pearson, V., 2008. Rhyolite geochemical signatures and association with volcanogenic massive sulfide deposits: examples from the Abitibi Belt, Canada. Economic Geology, 103, 1531-1562.
  - Galley, A.G., Hannington, M.D. and Jonasson, I., 2007. Volcanogenic massive sulphide deposits. Journal of Mineral Deposits of Canada, 5, 141-161.
  - Gemmell, J.B., Large, R.R. and Zaw, K., 1998. Palaeozoic volcanic hosted massive sulfide deposits. Journal of Australian Geology and Geophysics, 17, 129-138.
  - Gibson, H.L. and Kerr, D.J., 1998. Giant VMS deposits: with emphasis on Archean deposits. 5th annual short course of magmatism, volcanism and Metallogeny. Occidental-Brest University, Bretagne, France.
  - Goodfellow, W.D. and Peter, J. M., 1996. Sulphur isotope composition of the Brunswick No. 12 massive sulphide deposit, Bathurst Mining Camp, N.B.: Implications for ambient environment, sulphur source and ore genesis: Canadian Journal of Earth Sciences, 33, 231-251.
  - Goodfellow, W.D., 2004. Geology, genesis and exploration of SEDEX deposits, with emphasis on the Selwyn Basin, Canada. Attributes and models of some major deposits in India, Australia and Canada: New Delhi, Narosa Publishing House, 24-99.
  - Hannington, M.D., Poulsen, K.H., Thompson, J.F.H. and Sillitoe, R.H., 1999. Volcanogenic gold in the massive sulfide environment. Journal of Society of Economic Geologists, 8, 319-3550.
  - Hashemi, F., Mousivand, F. and Rezaeikakhkhaei, M., 2014. Volcanogenic massive sulfide mineralization in the Kashan-Delijan region, Iran. First International Workshop on Tethyan Oro-

- genesis and Metallogeny in Aisa, October 12–16, CUG University, Wuhan, China. 21–25.
- Hey M.H., 1954. A new review of the chlorites. *Mineralogical Magazine*, 30, 277–292.
  - Lapham, D.M., 1958. Structural and chemical variation in chromium chlorite. *American Mineralogist*, 43 (9–10), 921–956.
  - Large R.R., 1992. Australian Volcanic-hosted Massive Sulfide Deposits: Features, Styles, and Genetic Models. *Economic Geology*, 87 (3), 471–510.
  - Large, R.R., Gwemmel, J.B., Paulick, H. and Huston, D.L., 2001. The Alteration Box Plot: A simple approach to understanding the relationship between alteration mineralogy and lithogeochemistry associated with volcanic-hosted massive sulfide deposits. *Journal of Economic Geology*, 96, 957–971.
  - Leistel, J.M., Bonijoly, D., Braux, C., Freyssinet, Ph, Kosakevitch, A., Leca, X., Lessuyer, J.L., Marcoux, E., Milešović, J.P., Piantone, P., Sobol, F., Tegyey, M., Thieblemont, D. and Viallefond, L., 1994. The Massive Sulphide Deposits of the South Iberian Pyrite Province, Geological Setting and Exploration Criteria. Editions BRGM, 234.
  - Lobanov, K. and Gaskov, I., 2012. The Karchiga copper massive sulfide deposit in the high-grade metamorphosed rocks of the Kurchum block: geologic structure, formation, and metamorphism (Rudny Altai). *Journal of Russian Geology and Geophysics*, 53, 77–91.
  - Nelson, J., Paradis, S., Christensen, J. and Gabites, J. 2002. Canadian Cordilleran Mississippi Valley-type deposits: A case for Devonian-Mississippian back-arc hydrothermal origin. *Economic Geology*, 97, 1013–1036.
  - Ohmoto, H., 1996. Formation of volcano-genic massive sulfide deposits: the Kuroko perspective. *Journal of Ore Geology Reviews*, 10, 135–177.
  - Ohmoto, H. and Skinner, B.L., (Eds.). 1983. The Kuroko and Related Volcanogenic Massive Sulfide Deposits. *Economic Geology Publishing Company*, 604.
  - Orcel J., 1926. Essai de classification des chlorites. *Academy of Sciences (Paris) Comptes Rendus*, 183, 363–582.
  - Orcel, J., Callière M. S. and Henin S., 1950. Nouvel essai de classification des chlorites. *Mineralogical Magazine*, 29: 329–340.
  - Pašava, J., Vymazalová, A., Petersen, S. and Herzig, P., 2004. PGE distribution in massive sulfides from the PACMANUS hydrothermal field, eastern Manus basin, Papua New Guinea: implications for PGE enrichment in some ancient volcanogenic massive sulfide deposits. *Mineralium Deposita*, 39, 784–792.
  - Plimer, I.R., Carvalho, D., 1982. The geochemistry of hydrothermal alteration at the Salgadinho copper deposit, Portugal. *Mineralogical Deposita*. 17, 193–211.
  - Relvas, J.M., Barriga, F.J., Ferreira, A., Noiva, P.C., Pacheco, N. and Barriga, G., 2006. Hydrothermal alteration and mineralization in the Neves-Corvo volcanic-hosted massive sulfide deposit, Portugal. I. geology, mineralogy, and geochemistry. *Economic Geology*, 101, 753–790.
  - Sánchez-España, J., Velasco, F. and Yusta, I., 2000. Hydrothermal alteration of felsic volcanic rocks associated with massive sulphide deposition in the northern Iberian Pyrite Belt (SW Spain). *Applied Geochemistry*, 15, 1265–1290.
  - Serdyuchenko, D.P., 1953. Khlority, ikh

- khimicheskaya konstitutsiya i klassifikatsiya. Trudy Institute Geology Nauk. AN SSSR, 140.
- Strauss, C.K., Roger, G., Lecolle, M. and Lopera, E., 1981. Geochemical and geological study of the volcano-sedimentary orebody of La Zarza, Huelva Province, Spain. Economic Geology. 76, 1975-2000.
  - Toscano, M., Almodovar, G.R., Saez, R. and Pascual, E., 1993. Hydrothermal alteration related to the Masa Valverde massive sulfide deposit, Iberian Pyrite Belt, Spain. In: Fenoll Hach-Ali P, Torres-Ruiz J, Gerville F. (Eds.), Current research in geology applied to ore deposits. University of Granada, Spain, 389-392.
  - Toscano, M., Almodovar, G.R., Saez, R. and Pascual, E., 1994. Variacion composicional de las sericitas de alteración hidrotermal en sulfuros masivos Masa Valverde (Huelva). Boletín Sociedad Espanola de Mineralogia. 17, 161-162.
  - Tschermak, G., 1890. Die Chloritgruppe. Sitzungsber Kaiserlichen Akademie Wissenschaften Wiena Abstract. I, 99, 174-266.
  - Tschermak, G., 1891. Die Chloritgruppe. Sitzungsber Kaiserlichen Akademie Wissenschaften Wiena Abstract. I, 100, 29-107.
  - Urabe, T. and Scott, S.D., 1983. Geology and footwall alteration of south bay massive sulfide deposit, northwestren, Ontario, Canada. Canadian Journal of Earth Sciences. 20 (12), 1862-1879.
  - Weiss, Z., 1991. Interpretation of chemical composition and X-ray diffraction patterns of chlorites. Geologica Carpathica, 42, 2: 93-104.
  - Wiewiora A and Weiss Z., 1990. Crystallochemical classifications of phyllosilicates based on the unified system of projection of chemical composition: II. The chlorite group. Clay Minerals, 25: 83-92.
  - Winchell, A.N., 1936. A Third Study of Chlorite. American Mineralogist, 21, 642-651.
  - Zane, A. and Weiss, Z., 1998. procedure for classifying rock-forming chlorites based on microprobe data. Accademia the Rendiconti Lincei. Scienze Fisiche e Naturali, 9, 51-56.